



IRANIAN SOCIETY of
CRYSTALLOGRAPHY
and MINERALOGY

Vol. 17, No. 4, Winter 1388/2010

IRANIAN JOURNAL of
CRYSTALLOGRAPHY
and MINERALOGY

Mineralogical studies of metasomatic minerals within volcanic rocks of High Zagros salt domes

S. Taghipour^{1*}, B. Taghipour²

1. School of Geology, University-College of science, University of Tehran.

2. Department of earth sciences, faculty of sciences, Shiraz University

(Received: 7/12/2008, in revised form: 17/7/2009)

Abstract: Kaj-Rostam Abad, Dashtak and Do Ab salt domes are located around Ardal and Farsoun village. This area is situated in High Zagros range (Chaharmahal and Bakhtiari Province). The study area is composed of Lower Cambrian volcano sedimentary complex including basalt, basaltic andesite, andesite, trachyte, pyroclastics, evaporite rocks and Precambrian sedimentary units. According to the mineralogical and petrographic studies of High Zagros igneous rocks and related salt domes, they have complex mineralogical composition. The mineral assemblages in these rocks are formed during three stages, 1- Magmatic stage (plagioclase, clinopyroxene, and apatite), 2- Late magmatic stage (amphibole, biotite, quartz, albite, calcite and sphene) and 3- Vein mineralization stage (quartz, albite, epidote, amphibole, calcite and garnet). Based on amphibole crystal chemistry, actinolite ($\text{Si} = 7.87-7.93$, $\text{CaB}>1.5$, $\text{CaA}<0.5$, $(\text{Na} + \text{K})\text{A}<0.5$) have been distinguished, which is stable in wide range of temperature (320-520°C) and total pressure 2 k bar. Studies of fluid inclusions in quartz veinlet, from altered volcanic rocks, were shown the high salinity of hydrothermal fluids. Fluid inclusions studies show three phases included liquid, vapour and solid. Also quartz crystals have a lot of inclusion of actinolite needles. The thermal range, 310 to 330 °C in 42.93% salinity is distinguished for the formation of these quartz veins. The composition of chlorite, epidote and garnet are determined picnochlorite; pistazit and grossular-andradite respected and also the composition of plagioclases are mainly albite. On the base of thermometric studies, those metasomatic mineral are stable in thermal range of 300-500°C.

Keywords: Mineralogy, vein mineralization stage, fluid inclusion, salt domes, High Zagros range.

*Corresponding author, Telefax: +98 (021) 66491623, Email: taghipour.sedigheh@gmail.com



کانی شناسی کانی های دگرنهادی در سنگ های آتشفسانی گنبدهای نمکی زاگرس بلند

صدیقه تقی‌پور^{۱*}، بتول تقی‌پور^۲

۱- دانشکده زمین‌شناسی، پردیس علوم، دانشگاه تهران

۲- بخش علوم زمین، دانشکده علوم، دانشگاه شیراز

(دریافت مقاله: ۸۷/۹/۱۷ ، نسخه نهایی: ۸۸/۳/۲۲)

چکیده: گنبدهای نمکی کاچ-رسنم آباد، دشتک و دو آب در نزدیکی روستای اردل و دهکده فارسون قرار دارد. این منطقه در تقسیم‌بندی زمین‌شناسی ایران در بلندی‌های زاگرس بلند (استان چهار محال و بختیاری) قرار دارد. منطقه مورد بررسی از مجموعه‌های آذرین-تبخیری با ترکیب بازالت، آندزیت بازالتی، تراکیت، قطعات پیروکلاستیک، سنگ‌های تبخیری و واحدهای تهنشستی به سن کامبرین زیرین تشکیل شده است. سنگ‌های آذرین به صورت آتشفسانی و نیمه عمیق با ترکیب کانی‌شناسی پیچیده رخنمون دارند. بر پایه بررسی‌های کانی‌شناسی و سنگ‌شناختی سنگ‌های آذرین گنبدهای نمکی زاگرس بلند ترکیب کانی‌شناسی پیچیده‌ای دارند. کانی‌های تشکیل دهنده این سنگ‌ها به ترتیب در سه مرحله زیر تشکیل شده‌اند: ۱- مرحله ماقمایی (پلازیوکلاز، کلینوپیرکسن، آپاتیت و کرسوتیت)، ۲- مرحله تاخیری (اکتینولیت، بیوتیت، کوارتز، آلبیت، کلسیت و اسفن) و ۳- مرحله کانی‌زایی رگچه‌ای (اکتینولیت، کوارتز، آلبیت، کلسیت و گارنت). آمفیبول در سنگ‌های یادشده با ویژگی‌های $\text{CaA} < 0.5$ ، $\text{Na} + \text{K} < 0.5$ ، $\text{CaB} > 1.5$ ، $\text{Si} = 7.87\text{--}7.93$ و در فشار 520°C - 320°C از نوع اکتینولیت است. کانی یادشده در گستره دمایی $42/93\%$ در شوری بالای شاره-کل ۲ کیلو بار پایدار است. بررسی‌های شاره‌های درگیر بر روی رگچه‌های کوارتز گرمابی گنبدهای نمکی حاکی از شوری بالای شاره-هاست. بلورهای کوارتز دارای نفوذی‌های از سوزنی‌های اکتینولیت است، و نفوذی‌های شاره آن دارای سه فاز جامد (هالیت)، آبغون و گازند. بر پایه بررسی‌های ریز دما‌سنجی انجام شده، این کانی در گستره دمایی $310^\circ\text{--}330^\circ\text{C}$ و در شوری $42/93\%$ تشکیل شده است. کلریت‌های مورد بررسی از نوع پیکنوکلریت، اپیدوت‌ها از نوع پیستازیت، گارنت‌ها دارای ترکیب گروسولار-آندرادیت و ترکیب غالب پلازیوکلازها از نوع آلبیت است. بر پایه دما‌سنجی‌های انجام شده بر روی کانی‌های دگرنهاد، این کانی‌ها در گستره دمایی $300^\circ\text{--}500^\circ\text{C}$ پایدارند.

واژه‌های کلیدی: زاگرس بلند، کانی‌های دگرنهاد، دما‌سنجی، کانی‌زایی رگچه‌ای، گنبد نمکی.

مقدمه
بر تأثیر یک فاز گرمابی پس از انجماد سنگ‌های آذرین سازند از مدت‌ها پیش پیدایش کانی‌هایی نظیر آلبیت، اژیرین، هرمز بوده‌اند، که مورد توجه پژوهشگران مختلف قرار گرفته هدنبرزیت، آمفیبول‌های آبی، اپیدوت، کلریت و کوارتز، شاهدی

*نویسنده مسئول، تلفن - نمبر: ۰۲۱ ۶۶۴۹۱۶۲۳ - پست الکترونیکی: taghipour.sedigheh@gmail.com

نمکدار پنجاب پاکستان (Salt Range) و نمک جنوب عمان هم ارز باشد [۶، ۷]. آنچه به نام سازند هرمز خوانده می‌شود، ته نشستی‌هایی به ضخامت ۱۵۰۰ متر شامل شیل‌های سرخ - قهقهه‌ای، دولومیت، مقداری گچ و نمک و مقدار کمتر سنگ‌های آذرینند که با اندازه‌های مختلف روی گنبدهای نمکی و گاه درون آن‌ها دیده می‌شوند [۸]. سنگ‌های آذرین یادشده متنوع بوده و شامل بازالت، دولریت، ریولیت، کراتوفیر، تراکیت، ایگنمبیریت، توفهای اسید و کمتر اسپیلیت است [۹، ۱۰].

سازند هرمز در منطقه مورد بررسی با رخنمون ۱۶ گنبده نمکی بروندز دارد، تمامی این گنبدها در تماس مستقیم با گسل‌های مهم منطقه هستند (شکل ۱).

مهمنترین سنگ‌های آذرین سازند هرمز در گنبدهای کاج-رسنم آباد، دشتک و گنجان را گذازه‌ها تشکیل می‌دهند که با توده‌های نفوذی کوچک و نیمه عمیق نظیر دایک‌ها و سیل‌ها همراه می‌باشند. همچنین سنگ‌های آذرآواری که در واحدهای هرمز ۲ و ۴ در تناب با دیگر سازه‌های آن واحدها قرار دارند. بررسی صحرایی گنبدهای مورد بررسی نشان می‌دهد که فعالیت آتشفشانی در یک محیط در حال تهنشینی رخداده است.

در واقع سازند هرمز را باید یک سازند تهنشینی-آتشفشانی دانست که حرکت گنبدگونه مجموعه یاد شده پس از زمان تشکیل موجب بهم ریختگی کمایش شدید دنباله‌های آذرین-تهنشستی شده است. پیدایش کانی‌های غنی از سدیم نظیر آلیت، منیزیوریکیت، اژیرین همراه با کوارتز، اپیدوت و الیژیست در میان درز و شکاف‌های دیابازها و تمامی سنگ‌های سازند هرمز نشان دهنده تاثیر فازهای تاخیری هستند [۴، ۵].

سنگ‌های دگرنهادی در گنبدهای نمکی به صورت گستردۀ رخنمون دارند. آثار این پدیده با حضور رگجهای آمفیبیول‌های آبی رنگ، کوارتز، کلریت و دانه‌های گارنت حنایی، اکسید آهن ورقه‌ای، آلیت رگهای، اپیدوت و قطعاتی از برونوهم‌های آهکی سیلیکاتی درون توفهای آتشفشانی مشخص می‌شود. رگجه‌های کوارتز و کلریت به طول بیش از ۵۰ cm و عرض ۱۰ cm در بسیاری از سنگ‌های آتشفشانی این منطقه رخنمون دارند (شکل ۲).

است [۱-۵]. آثار دگرنهادی در سنگ‌های پرکامبرین ایران و عربستان به صورت رگهای آپاتیت، آلیت، آهن، فلوگوپیت و ریبکیت و ایجاد کانسارهای اورانیوم، قلع و عناصر نادر خاکی مشاهده می‌شوند [۱، ۲]. در رابطه با دگرنهادی و ایجاد کانی‌های غنی از عناصر قلیایی نظیر آلیت، اوزیت - اژیرین و ریبکیت توسط پژوهشگران مختلف بررسی‌های در سنگ‌های آذرین گنبدهای نمکی زاگرس بلند صورت گرفته است [۳-۵]. برخی از پژوهشگران ضمن نامگذاری و اثبات وجود منیزیوریکیت در گنبدهای جنوب ایران معتقداند، که خاستگاه منیزیوریکیت و اژیرین در اثر دگرگونی گرمابی حاصل از فاز ماگماتیسم غنی از NaCl تشکیل شده است [۳، ۵]. آبست ریبکیت به صورت گستردۀ در شکاف‌ها و شکستگی‌های بازالت‌ها به ویژه دیابازها و نیز به مقدار کمتر در توفیت‌ها و حتی در ماسه سنگ‌ها و دولومیت‌ها [۳] و گابروها تشکیل شده‌اند [۵]. در این مقاله سعی شده است تا با بررسی شیمی کانی‌های دگرنهادی در مناطق مختلف گنبدهای نمکی زاگرس بلندی، ترکیب دقیق و شرایط تشکیل آن‌ها برای اولین بار تعیین شود. بدین منظور نمونه‌های مورد بررسی از سه گنبد کاج، دشتک و گنجان (دواآب) انتخاب شدند. این مناطق در گستره‌ای به طول ۳۱° ۴۰' ۰۰'' و عرض جغرافیایی ۵۰° ۵۰' ۰۰'' شمالی قرار گرفته‌اند.

روش کار

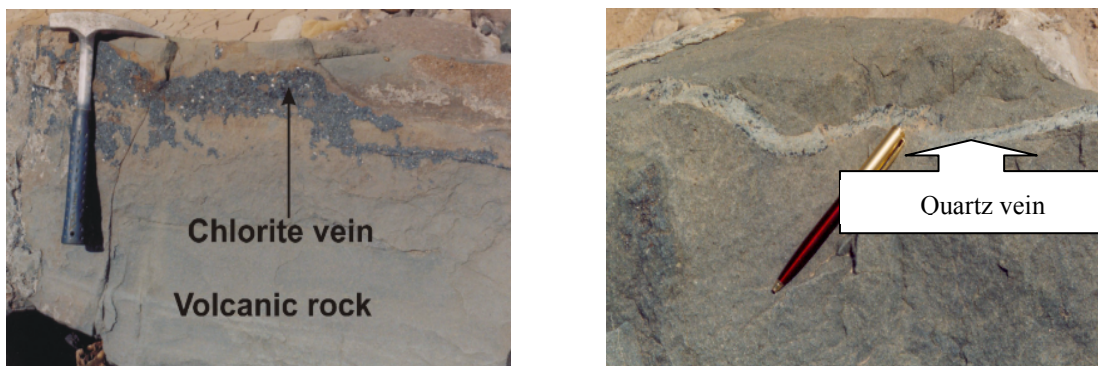
در نخست بررسی‌های صحرایی گستردۀ و نمونه برداری سیستماتیک انجام گرفت. ضمن بررسی‌های میکروسکوپی بر روی نمونه‌ها، در راستای تعیین دقیق ترکیب کانی‌های دگرنهادی در دانشگاه اکلاهاماسیتی (نورمن) آمریکا بررسی‌های ریز پردازش الکترونی (EMPA) روی کانی‌های آمفیبیول، کلریت، گارنت، پلاژیوکلاز و اپیدوت با دستگاه مدل SX-50 انجام شد. ضمناً بررسی‌های روی نفوذی‌های شاره‌ای بر کانی کوارتز در آزمایشگاه شاره‌های درگیر دانشگاه اصفهان صورت گرفته است.

بررسی‌های زمین‌شناسی و صحرایی

دوران پرکامبرین در شمال کرمان، شمال طبس و زاگرس بلند به طور جانبه به تشکیلات نمک دیاپیری ختم می‌شود، که تصور می‌شود با تشکیلات سری هرمز در جنوب ایران و گستره



شکل ۱ نمای عمومی گنبد نمکی دشتک که در اثر گسل از گستره جنوبی جدا شده است.



شکل ۲ رگچه‌های کوارتز و کلریت به طول بیش از ۱۰ cm و عرض ۵۰ cm درون سنگ‌های آتشفسانی منطقه تشکیل شده‌اند.

اشاره می‌شود.

بحث

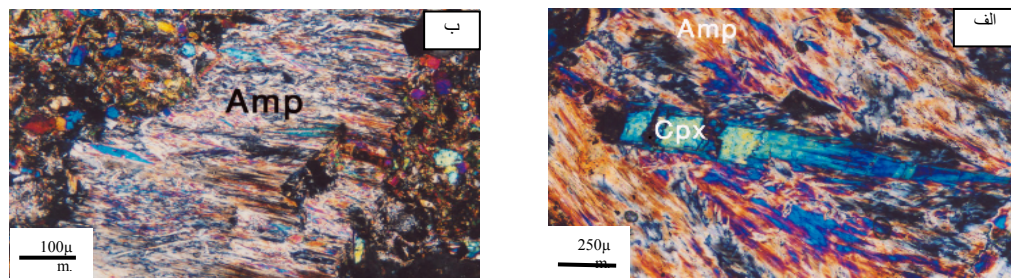
آمفیبول‌های آزبستی
بلورهای سوزنی و آبی رنگ آمفیبول‌های آزبستی به فراوانی در سنگ‌های دگرنهادی گنبدی‌های نمکی یافت می‌شوند. از دیدگاه میکروسکوپیکی این کانی ویژگی انواع قلیایی (ربیکیت) را نشان می‌دهد (شکل ۴-الف). سوزنی‌های اکتینولیت عمود بر دیواره رگه‌ها رشد کرده است و گواه بر وجود تنش کششی در محیط تشکیل این کانی است (شکل ۴-ب). برخی از پژوهشگران نیز در بررسی‌های خود بوجود ربیکیت در سنگ‌های آذرین این منطقه اشاره کرده‌اند [۴، ۶]. از آنجا که برای نامگذاری آمفیبول‌ها بهترین روش استفاده از شیمی کانی است، لذا برای تعیین دقیق ترکیب شیمیایی این کانی از داده‌های ریز پردازشی شیمیایی استفاده شده است. بر اساس آنالیزهای یادشده (جدول ۱) و با توجه به مقدار کم Na_2O و CaO ، به کار بردن واژه ربیکیت برای این کانی درست نیست [۱۱].

بررسی‌های سنگ شناختی سنگ‌های آذرین سازند هرمز در منطقه زاگرس بلند مرتفع نشان می‌دهد، که این سنگ‌ها دارای بافت‌های ریزدانه‌ای، میان دانه‌ای، پورفیری، هیالوپورفیری، جریانی و بادامکی هستند. درشت بلورهای پلاژیوکلاز، آمفیبول، کلینوپیروکسن و میکرولیت‌های سازنده زمینه اصلی این سنگ‌ها هستند. بیوتیت به صورت اولیه و ثانویه مشاهده می‌شوند (تشکیل بیوتیت‌های ثانویه شاهدی بر هجوم آبگون‌های سرشار از پتانسیم تاخیری است). کانی‌های کلسیت، کلریت، آمفیبول و پرکننده‌های اصلی حفرها هستند. آمفیبول به صورت اولیه و ثانویه در نمونه‌های مورد بررسی مشاهده می‌شود. آمفیبول‌های اولیه به صورت میکروفنوكریست و کانی زمینه ظاهر می‌شوند و کاملاً سالم‌اند و به ندرت از حاشیه به کلریت، آمفیبول و اپیدوت مبدل شده‌اند (شکل ۳) که در زیر به شرح هر یک از کانی‌های تشکیل شده طی دگر نهادی سنگ‌های آتشفسانی

کانی‌ها	Magmatic Stage (I)	Late Magmatic Stage(II)	Vein Mineralization (III)
پلازیوکلار	_____		
کلینوپیروکسن	_____		
کرسوتیت	_____		
بیوتیت		_____	
کوارتز		_____	
کلریت		_____	
آپاتیت	_____		
آلبیت		_____	
کلسیت		_____	
اسفن	-----	---	
گلرنٹ		_____	
پیدوت		_____	
باک (پیریت و...)	_____		
ژپس ×			
اکتینولیت			_____

× ژپس از فرآوردهای دگرسانی پیریت (اکساپیشی) است.

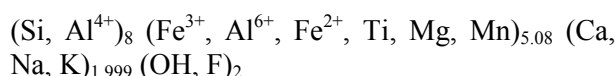
شکل ۳ روابط پارازنیکی کانی‌ها در سنگ‌های آذرین گندلهای نمکی زاگرس بلند.



شکل ۴ الف اکتینولیت (Amp.) به بهای کلینوپیروکسن (Cpx.) در گابروهای پیروکسن دار تشکیل شده است، ب- سوزنی‌های اکتینولیت عمود بر دیواره رگه‌ها رشد کرده‌اند.

جدول ۱ آنالیز ریز پردازشی آمفیبولهای آزیستی گندلهای نمکی زاگرس بلند.

Label	SiO ₂	TiO ₂	Al ₂ O ₃	FeO*	MnO	MgO	CaO	Na ₂ O	K ₂ O	Total
۱	۵۴,۳۴	•	۰,۹۳۷	۱۳,۲۸	۰,۲۱۷	۱۵,۷	۱۱,۸۹	۰,۵۷۵	۰,۰۷۲	۹۷,۲۲
۲	۵۵,۶۹	•	۰,۹۴۱	۱۳,۸۳	۰,۲۵	۱۵,۲۱	۱۲,۰۶	۰,۵۳۶	۰,۰۴۴	۹۸,۷۸
۳	۵۴,۴	۰,۰۰۲	۰,۹۳۷	۱۴,۶	۰,۳۲۷	۱۴,۹۸	۱۱,۷۶	۰,۵۹	۰,۰۵۲	۹۷,۷
۴	۵۴,۳۹	•	۰,۹۴۹	۱۴,۶۲	۰,۲۸۷	۱۵,۲۸	۱۱,۷۷	۰,۶۳۷	۰,۰۵۶	۹۸,۰۳
۵	۵۳,۷۲	۰,۰۰۳	۱,۱۹۱	۱۴,۸۳	۰,۱۹۵	۱۴,۷۹	۱۲,۴	۰,۲۰۶	۰,۰۲۸	۹۷,۳۸
۶	۵۴,۷۷	۰,۰۲۵	۱,۰۸۴	۱۳,۰۵	۰,۲۵۷	۱۵,۷۶	۱۲,۴	۰,۴۳	۰,۰۵۷	۹۷,۰۸
۷	۵۵,۸۱	۰,۰۲۶	۰,۷۴۱	۱۱,۰۶	۰,۱۷۷	۱۷,۶۹	۱۲,۳۴	۰,۳۱۷	۰,۰۴۹	۹۸,۲۴
۸	۵۵,۱۴	•	۱,۰۵۱	۱۳,۲۳	۰,۲۸	۱۵,۶۷	۱۲,۰۳	۰,۷۴۱	۰,۰۷۳	۹۸,۰۶
۹	۵۵,۵۱	•	۰,۹۸۷	۱۱,۹۸	۰,۲۲۲	۱۶,۴۴	۱۲,۴	۰,۴۸۲	۰,۰۵۴	۹۷,۷۶
۱۰	۵۴,۸۷	۰,۰۵۹	۱,۲۰۶	۱۲,۸۵	۰,۲۱۱	۱۶,۱۱	۱۲,۰۱	۰,۵۱۷	۰,۰۵۸	۹۷,۸۹
۱۱	۵۵,۶۵	۰,۰۱۳	۰,۹۴۴	۱۱,۸۲	۰,۲۱۹	۱۶,۹۵	۱۲,۱	۰,۴۲۴	۰,۰۴۷	۹۸,۱۸
۱۲	۵۴,۴۴	۰,۰۱۱	۱	۱۲,۹	۰,۲۶۳	۱۵,۶۳	۱۲,۰۵	۰,۴۴۲	۰,۰۵	۹۶,۷۹
۱۳	۵۴,۴۵	۰,۰۲۷	۱,۳۷۲	۱۲,۵۶	۰,۲۱۱	۱۶,۱۴	۱۱,۴۸	۰,۹۳۸	۰,۰۹۷	۹۷,۴۹
۱۴	۵۴,۷۳	۰,۰۲۷	۱,۱۸۹	۱۲,۸۸	۰,۲۲۸	۱۵,۹۲	۱۱,۴۷	۰,۸۶	۰,۰۹۶	۹۷,۶
۱۵	۵۴,۴۶	۰,۰۲۸	۱,۱۳۶	۱۱,۸۲	۰,۲۰۵	۱۶,۵۸	۱۱,۷۷	۰,۸۱	۰,۰۸۵	۹۷,۱۸
۱۶	۵۴,۲۹	۰,۰۵	۱,۴۷۹	۱۲,۵۶	۰,۲۱۸	۱۵,۸۶	۱۱,۳	۰,۱۳۱	۰,۱۳	۹۷,۱۱
۱۷	۸۵,۰۳	۰,۰۵۳	۱,۵۷۱	۱۲,۶۵	۰,۲۱۲	۱۶,۰۴	۱۱,۵۸	۰,۸۷۹	۰,۱۲۱	۹۷,۱۸
۱۸	۵۵	۰,۰۵۴	۰,۸۵۶	۱۱,۴۶	۰,۲۱۲	۱۷,۱۷	۱۱,۷۲	۰,۸۰۳	۰,۰۷۲	۹۷,۵
۱۹	۵۴,۴۸	۰,۰۱۷	۲,۱۸۶	۱۳,۲۳	۰,۱۸۹	۱۵,۱۲	۱۱,۲۶	۱,۳۹۲	۰,۱۵۴	۹۸,۱
۲۰	۵۵,۹	۰,۰۲۴	۰,۵۵۷	۹,۹۵۱	۰,۱۸۳	۱۷,۵۹	۱۱,۸۶	۰,۸۱۷	۰,۰۶	۹۷,۰۱

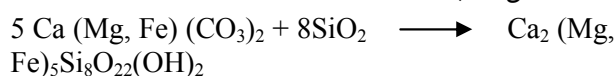


آمفیبول‌های ثانویه در سنگ‌های بزی به صورت زیر تشکیل شده‌اند:

-۱- در هورنبلند گابروها، اکتینولیت بهبهای هورنبلندهای قهوه‌ای تشکیل می‌شود.

-۲- در گابروهاي پيروكسن‌دار، اکتینولیت بهبهای کلینوپيروكسن‌ها و همراه با بیوتیت، گارنت و کدر تشکیل شده است (شکل ۴-الف).

-۳- اکتینولیت به صورت سوزنی‌های عمود بر دیواره رگه‌ها رشد کرده است، که گواه بر تشکیل این کانی به دنبال دگرنهادی است (شکل ۴-ب).



-۴- سوزنی‌های اکتینولیت همراه با دولومیت، کلسیت در زنگوکریست‌های آهکی-سیلیکاتی یافت می‌شوند.

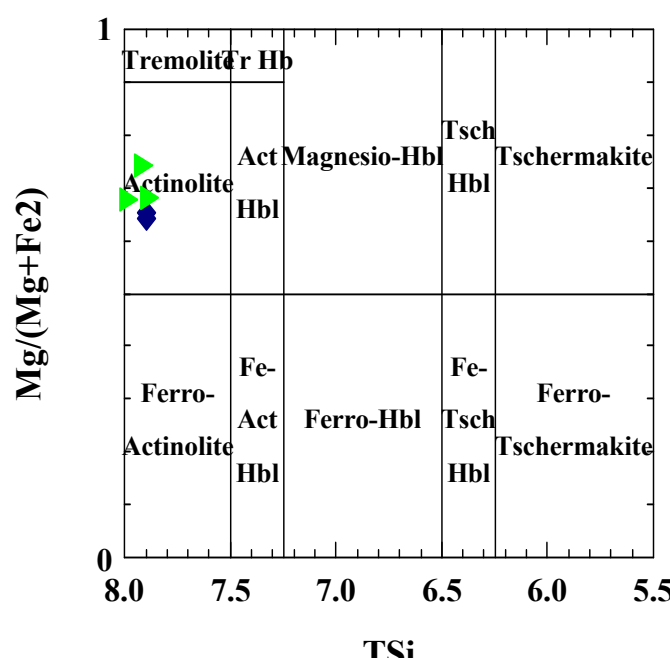
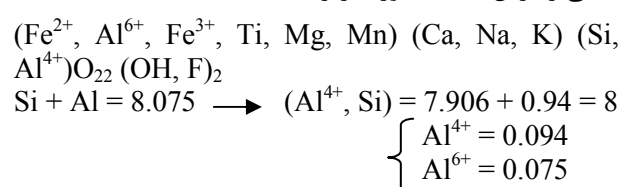
-۵- تشکیل رگچه‌هایی از آمفیبول، آلبیت، کلسیت و کوارتز مبین تاثیر آبگون‌های غنی از عناصر قلیایی است. در اثر این فرایند اکتینولیت به کلسیت تبدیل شده است، حتی در برخی موارد آمفیبول‌های آزیستی به طور کامل کربناتی شده، منجر به ایجاد رگه کلسیتی شده‌اند.

در ادامه از نمودار شکل ۵ [۱۲] برای نامگذاری آمفیبول‌ها استفاده شد. چنانکه ملاحظه می‌شود، آمفیبول‌ها از نوع اکتینولیت‌اند (شکل ۵). کانی‌های مورد بررسی در سیستم $Fe - Ca - Si - CaO - H_2O$ قرار می‌گیرند. لذا از نمودار شکل ۶ استفاده شده است. با توجه به بافت سنگ آذرین، درونی و نیمه عمیق بودن آن‌ها به نظر می‌رسد که فشار 2kb برای تشکیل آمفیبول‌ها ضروری است. در شرایط $T - XCO_2$ برگشت هدنبرژیت به اکتینولیت، کلسیت و کوارتز [۱۳] نیز دیده می‌شود. بر اساس این نمودار، اکتینولیت در گستره دمایی $520^{\circ}C - 320^{\circ}C$ و در فشار کل ۲ کیلو بار پایدار است. لذا دمای بیشینه تشکیل این کانی در سنگ‌های منطقه زیر $520^{\circ}C$ است (شکل ۶).

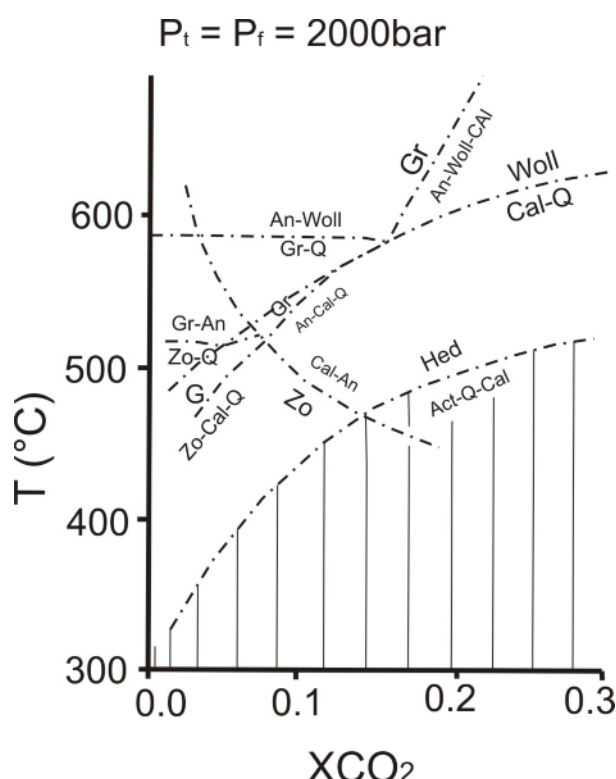
فرمول عمومی آمفیبول‌ها بر اساس ترکیب شیمیایی آمفیبول‌ها به صورت زیر است [۱۴]:



محاسبه فرمول ساختاری رگچه‌های آبی آمفیبول گنبدی‌های نمکی زاگرس بلند به صورت زیر است:



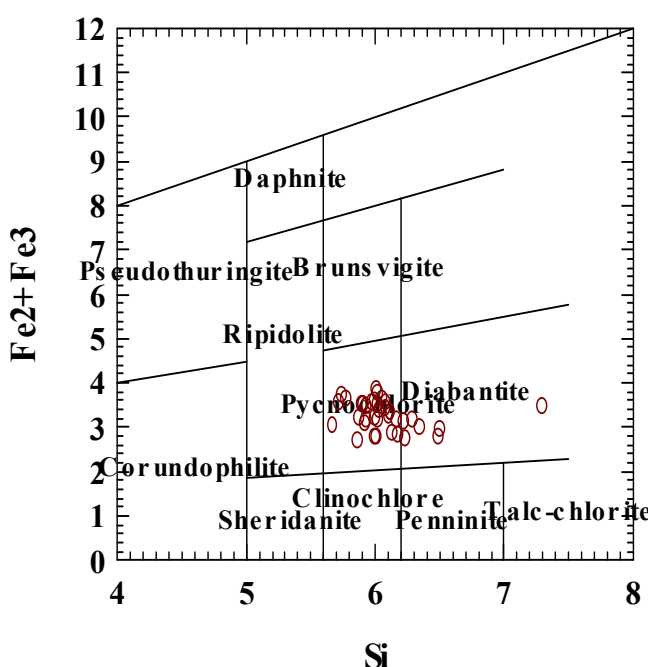
شکل ۵ بر اساس این نمودار آمفیبول‌های آبی در گستره اکتینولیت قرار گرفته است [۱۲].



شکل ۶ با توجه به نمودار مقابل اکتینولیت در گسترهٔ دمائی (520°C - 320°C) و در فشار کل ۲ کیلو بار پایدار است [۱۳].

تداخلی سری خاکستری است. بررسی شیمی کانی کلریت (جدول ۲ و شکل ۷) نشان می‌دهد که کلریت از نوع پیکنوكلریت است.

رگچه‌های کلریتی
کلریت یکی دیگر از کانی‌های دگرنهادی است. از دیدگاه میکروسکوپیکی این کانی دارای برجستگی پائین و رنگ



شکل ۷ کلریت‌های مورد بررسی روی نمودار تقسیم بندی کلریت‌ها در گسترهٔ پیکنوكلریت قرار گرفته‌اند [۱۵].

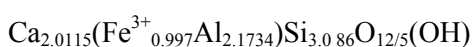
جدول ۲ آنالیز ریز پردازشی کلریت‌های رگه‌ای گنبدهای نمکی زاگرس بلند.

Label	SiO ₂	Al ₂ O ₃	FeO*	MnO	MgO	K ₂ O	F	Total
۱	۳۰.۱	۱۶.۷	۱۸.۷	۰.۲۶	۲۱.۳	۰.۰۲	۰.۲۴	۸۷.۳
۲	۲۹.۶	۱۷	۱۹.۵	۰.۲۲	۲۱	۰.۰۲	۰.۱۱	۸۷.۵
۳	۳۰	۱۷.۴	۱۸.۶	۰.۲۱	۲۲	۰.۰۳	۰.۲۴	۸۸.۴
۴	۲۹	۱۷.۷	۱۹.۷	۰.۳۶	۲۰.۳	۰	۰.۱۲	۸۷.۲
۵	۲۸.۵	۱۷.۷	۱۹.۸	۰.۳۷	۲۰.۴	۰	۰.۲۶	۸۷.۱
۶	۲۸.۲	۱۸.۹	۲۱.۳	۰.۴۶	۱۹.۴	۰	۰	۸۳.۳
۷	۲۸.۱	۱۸.۸	۲۰.۴	۰.۳۸	۲۰.۳	۰	۰.۰۲	۸۸.۱
۸	۲۸.۱	۱۸.۳	۲۰.۸	۰.۳۹	۱۹.۷	۰.۰۱	۰.۲۱	۸۷.۶
۹	۳۱.۱	۱۶.۴	۱۸.۲	۰.۳۲	۲۰.۸	۰.۱۱	۰.۳۵	۸۷.۳
۱۰	۳۰.۸	۱۷	۱۸.۳	۰.۳۴	۲۱.۳	۰.۱	۰.۳۸	۸۸.۴
۱۱	۲۹.۷	۱۶.۶	۱۸.۹	۰.۳۳	۲۰.۴	۰.۰۸	۰.۵۷	۸۶.۵
۱۲	۳۰.۷	۱۶.۴	۱۸	۰.۳	۲۱.۲	۰.۱۳	۰.۵	۸۷.۳
۱۳	۳۶.۱	۱۴.۷	۲۰.۱	۰.۲۷	۱۱.۵	۷.۸۷	۰.۸۲	۹۵.۷
۱۴	۳۰	۱۶.۱	۲۰.۲	۰.۲۸	۲۰.۹	۰.۰۱	۰.۱۱	۸۷.۵
۱۵	۲۹.۶	۱۶.۸	۲۰.۷	۰.۳۱	۲۰.۸	۰.۰۱	۰.۰۹	۸۸.۳

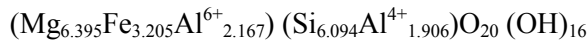
اپیدوت

این کانی با رنگ تداخلی بالا به فراوانی در کنار کانی‌های دگرنهادی یافت می‌شود. تشکیل گستره این کانی در درز و شکاف سنگ‌های آذرین مبین تاثیر فاز گرمابی غنی از CaO و O₂ بر سنگ‌های این منطقه است. به نحوی که برخی نمونه‌ها کاملاً تحت تاثیر دگرنهادی قرار گرفته است و سنگی به نام اپیدوزیت تشکیل شده است. سنگ‌های آذرین این منطقه در رخساره شیست سبز دگرگون شده‌اند [۴]. فراوانی اپیدوت از نوع پیستازیت (جدول ۴) به عنوان یکی از کانی‌های سیلیکاتی آبدار نمایانگر فوگاسیتۀ بالای اکسیژن گرمابی‌ها در محیط زمین‌شناسی است (شکل ۸-الف). آنگونه که در نمودار شکل ۸-الف دیده می‌شود، میدان پایداری اپیدوت به سوی دماهای پائین با افزایش فوگاسیته اکسیژن افزوده می‌شود. در فوگاسیته کم اکسیژن مجموعه کوارتز + اپیدوت جانشین مجموعه آنورتیت + هدنبرژیت می‌شود [۲۱]. روابط پاراژنتیکی مجموعه اپیدوت دار را می‌توان روی نمودار (شکل ۸-ب) نشان داد. مجموعه کلسیت + گارنت + کلریت + اپیدوت منجر به پیدایش رخساره شیست سبز شده است.

فرمول ساختاری اپیدوت‌های دگرنهادی گنبدهای نمکی زاگرس بلند به صورت زیر است:



محاسبۀ فرمول ساختاری کلریت‌های رگه‌ای گنبدهای نمکی زاگرس بلند به صورت زیر است:



با استفاده از معادله ارائه شده توسط برخی پژوهشگران [۱۸-۱۶] می‌توان دمای دگرسانی را به دست آورد. معادلات پیشنهاد شده به شرح زیرند [۱۹].

$$(1) T (^\circ\text{C}) = 319\text{AlIV}-69$$

$$\text{AlIV} = \text{ALIV} + 0.1(\text{Fe}/(\text{Fe} + \text{Mg}))$$

دمای به دست آمده بر اساس این معادله در ۴۲۰ °C آورده شده است [۱۶]. بر اساس معادله زیر نیز نتایج تقریباً مشابهی به دست آمده است. معادله به صورت زیر است [۱۷].

$$(2) T (^\circ\text{C}) = -61.92 + 321.98\text{AlIV}$$

دمای به دست آمده از این معادله ۵۳۵ °C است [۱۷]. از طرف دیگر بر پایه معادله ۳، دمای ۶۲۰ °C محاسبه شده است [۱۸].

$$(3) T (^\circ\text{C}) = 213.3\text{AlIV} + 17.5$$

با استفاده از نتایج دماسنگی کلریت‌ها (جدول ۳) و با استفاده از ۳ معادله یاد شده، این نتیجه به دست می‌آید که دمای گرمابی‌هایی که بر سنگ اثر گذاشتند و باعث ایجاد کلریت‌های نوع پیکنوکلریت (کلریت‌های ناشی از تجزیه آمفیبول و بیوتیت) شده‌اند، در گستره (۴۲۰ °C - ۵۲۰ °C) تغییر می‌کند.

پیدایش آلبیت‌های رگچه‌ای گواه بر ازدیاد عناصر قلیایی در فاز تا خیری است (جدول ۵، شکل ۹).

فرمول ساختاری آلبیت‌های رگچه‌ای گنبدهای نمکی زاگرس بلند به صورت زیر آورده شده است:

$$\text{Na}_{0.99}\text{Ca}_{0.032} \text{Al}_{1.043} \text{Si}_{2.96}\text{O}_8$$

پلازیوکلاز

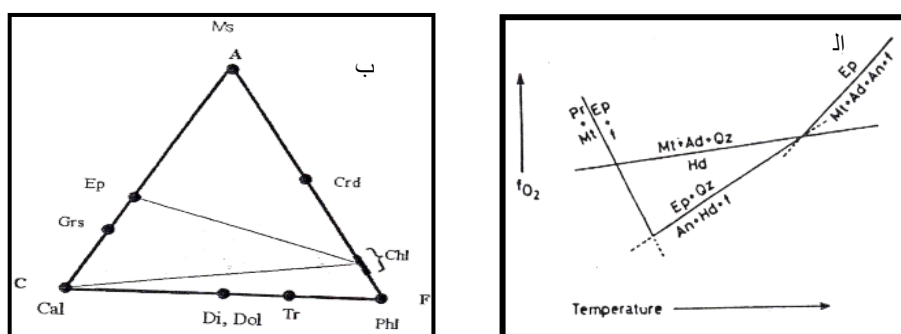
در سنگ‌های دگرنهاد پلازیوکلاز در زمینه‌ای از میکروولیت، کانی‌های کدر، کلسیت و شیشه قرار گرفته است. درشت بلورهای پلازیوکلاز وابسته به دو نسل هستند که دلیلی بر نقش دگرنهادی در تشکیل آلبیت‌های نو ظهور است. از طرف دیگر

جدول ۳ دمای حاصل از دماسنگی کلریت‌های رگچه‌ای سازند هرمز در زاگرس بلند.

Sample	T1	T2	T3
۱	۱۶,۱۵۷	۵۳۹,۸۶۰	۶۰۶,۷۵۱
۲	۴۳۳,۲۲۱	۵۶۵,۶۱۹	۶۳۲,۶۵۲
۳	۴۱۳,۳۸۴	۵۳۵,۶۷۵	۶۰۲,۹۸۲
۴	۴۱۳,۳۸۴	۵۳۵,۶۷۵	۶۰۲,۹۸۲
۵	۳۹۲,۲۶۸	۵۰۳,۷۹۹	۵۷۰,۷۷۳
۶	۱۶۲,۷۵۷	۱۵۷,۳۴۹	۲۳۳,۰۳۴
۷	۴۲۱,۲۷۶	۵۴۷,۵۸۸	۶۱۵,۰۷۹
۸	۴۳۹,۶۲۰	۵۷۵,۲۷۸	۶۴۲,۷۱۴
۹	۴۲۷,۲۴۹	۵۵۶,۶۰۳	۶۲۴,۵۰۴
۱۰	۴۳۷,۷۰۱	۵۷۲,۳۸۰	۶۴۰,۶۵۰
۱۱	۴۳۳,۸۶۱	۵۶۶,۵۸۵	۶۳۴,۶۶۱
۱۲	۴۴۳,۲۴۷	۵۸۰,۷۵۲	۶۴۸,۳۱۰
۱۳	۴۳۸,۵۵۴	۵۷۳,۶۶۸	۶۳۹,۹۴۹
۱۴	۴۵۹,۲۴۴	۶۰۴,۹۰۰	۶۷۱,۹۱۷
۱۵	۴۶۰,۹۵۰	۶۰۷,۴۷۶	۶۷۴,۴۲۵

جدول ۴ نتایج آنالیز ریز پردازشی اپیدوت‌های گرمابی گنبدهای نمکی زاگرس بلند.

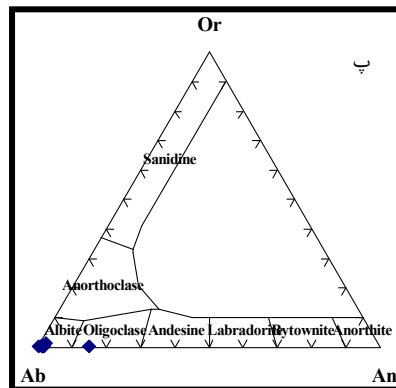
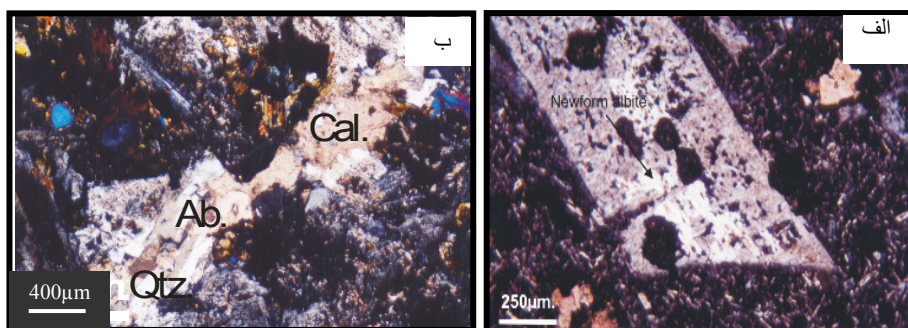
Label	SiO ₂	TiO ₂	Al ₂ O ₃	FeO*	CaO	Total
۱	۳۶,۸۲	۰	۲۱,۰۲	۱۶,۱۱	۲۲,۹۵	۹۷,۱۶
۲	۳۷,۱۸	۰,۰۲۴	۲۲,۴۳	۱۴,۶۷	۲۲,۷۹	۹۷,۷۴
۳	۳۷,۴۲	۰,۰۱۷	۲۲,۹۷	۱۲,۵۶	۲۲,۹۲	۹۷,۵۲
۴	۳۶,۹	۰,۰۰۷	۲۱,۸۳	۱۵,۱۶	۲۲,۶۲	۹۷,۱۱
۵	۳۷,۰۲	۰,۰۰۸	۲۲,۸۱	۱۴,۱۶	۲۲,۱۳	۹۷,۴
۶	۳۷,۱۱	۰,۰۴۴	۲۳,۸۲	۱۲,۸۸	۲۲,۵۲	۹۷,۷۳
۷	۳۶,۸۴	۰,۰۱۱	۲۲,۲۹	۱۴,۶	۲۲,۳۲	۹۶,۹۱
۸	۳۷,۱۷	۰,۰۱۱	۱۳,۲۵	۱۰,۹۵	۲۳,۰۴	۹۷
۹	۳۶,۷۷	۰	۱۹,۵۷	۱۷,۱۴	۲۱,۹۴	۹۶,۸۸
۱۰	۳۷,۰۹	۰,۰۲۴	۲۰,۴۵	۱۶,۵۶	۲۲,۴۷	۹۷,۲۶
۱۱	۳۶,۷۹	۰	۱۹,۹۳	۱۶,۸	۲۲,۲۴	۹۷,۰۹
۱۲	۳۶,۹۴	۰,۰۳۱	۲۰,۳۵	۱۶,۳۲	۲۲,۱۲	۹۶,۸۶
۱۳	۳۷,۵۸	۰	۲۵,۳۴	۱۰,۳۸	۲۲,۶۴	۹۷,۵۵
۱۴	۳۸,۰۵	۰,۰۱۵	۲۵,۰۹	۱۰,۶۱	۲۲,۲۷	۹۷,۸۱
۱۵	۳۷,۲۰	۰,۰۲۵	۲۴,۸۵	۱۱,۱۲	۲۲,۳۴	۹۷,۲۲



شکل ۸ الف. نمودار نمادین T-fO₂ برای اپیدوت [۲۰، ۲۱]، ب. نمودار ترکیب-پاراژنز برای مجموعه .Chl + Ep. + Gr + Cal برای اپیدوت [۲۰، ۲۱]

جدول ۵ نتایج آنالیز ریز پردازشی آلبیت‌های رگه‌ای گنبدهای نمکی زاگرس بلند.

Label	SiO ₂	Al ₂ O ₃	CaO	Na ₂ O	Total
۱	۶۸,۸۶	۲۰,۲۳	۰,۲۷۵	۱۱,۹۷	۱۰۱,۶۵
۲	۶۸,۳۹	۲۰,۰۳	۰,۲۴۷	۱۱,۹۶۰	۱۰۱,۱۶
۳	۶۸,۱۸	۱۹,۸۴	۰,۲۴۹	۱۲,۰۶	۱۰۰,۹
۴	۶۷,۸۴	۲۰,۴۷	۰,۳۸	۱۱,۵۰	۱۰۰,۹۲
۵	۶۸,۷۸	۲۰,۱۱	۰,۳۲۵	۱۲,۰۸	۱۰۱,۶۰
۶	۶۴,۴۲	۲۱,۶۵	۳,۵۰	۱۰,۹۹	۱۰۱,۶۶۱
۷	۶۸,۸۷	۲۰,۰۲	۰,۰۷۵	۱۲,۱۵	۱۰۱,۵۰
۸	۶۶,۶۹	۱۹,۷۹	۰,۳۹	۱۱,۷۶	۹۹,۰۳۵



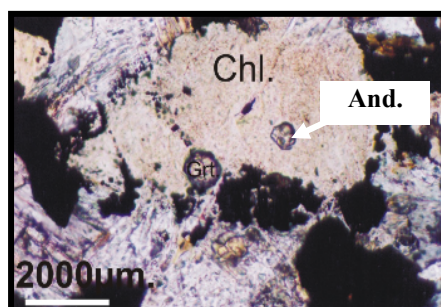
شکل ۹ الف. آلبیت‌های نوظهور در اثر دگرنهادی نمک در سنگ‌های آتشفسانی گنبدهای دوآب تشکیل شده است، ب. تشکیل رگچه‌های کوارتز، کلسیت و آلبیت در سنگ‌های آتشفسانی گواه بر تاثیر دگرنهادی در مراحل پایانی تبلور ماقماست (نور قطبیده)، پ. اغلب فلدسپات‌های مورد بررسی روی نمودار تقسیم‌بندی فلدسپات‌ها در گستره آلبیت قرار گرفته‌اند.

آبگون‌ها و افزایش سریع در نسبت $\text{Fe}^{3+}/\text{Al}^{3+}$ هنگام کانی‌زائی شده است [۲۴]. با توجه به زمین ساختی خاص زاگرس بلند-این رویداد را می‌توان وابسته به رانش ناگهانی زاگرس و گسل‌های دیگر منطقه هنگام تشکیل این سنگ‌ها دانست، زیرا گنبدهای نمکی زاگرس بلند در اثر عملکرد گسل‌ها و در یک محیط پویا برونزد یافته‌اند [۲۵].

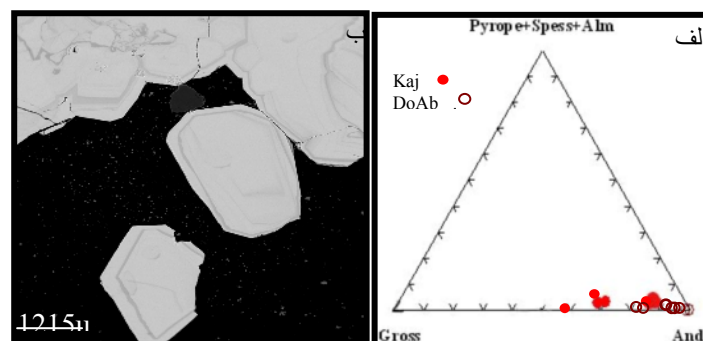
فرمول ساختاری و عضو پایانی گارنت‌های حنایی رنگ گنبدهای نمکی زاگرس بلند به صورت زیر آورده شده است: $(\text{Ca}_{3.048}, \text{Fe}^{2+}_{0.493} \text{Mn}_{0.017})_{(\text{Si}_3)} (\text{Al}^{3+}_{0.38}, \text{Fe}^{3+}_{0.483})_0 \text{O}$

آندرادیت	گروسولار	آلمندین	اسپسارتین
۶۷,۳۹۶	۲۸,۸۵۷	۲,۳۴۳	۱,۴۰۴

ترکیب گارنت در گنبدهای کاج آندرادیت-گروسولار است (شکل ۱۱-الف). این کانی به بهای پلاژیوکلاز و به دلیل بالابودن محتوای CaO فاز گرمابی تشکیل شده است. گارنت‌های یادشده ناهمسانگرد است و در نور قطبینده خاموشند. اگر ترکیب گارنت‌ها هیدرولیز شود، گارنت زیر را می‌توان برای شکل‌گیری آنها در نظر گرفت [۲۶].



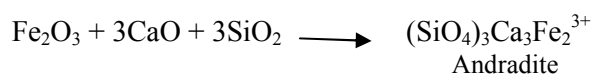
شکل ۱۰ پیدایش گارنت‌های آندرادیتی با بر جستگی بالا در زمینه‌ای از کلریت (نور عادی).



شکل ۱۱ الف. گارنت‌های مورد بررسی در نمودار سه گوش گروسولار-آندرادیت-پیروپ+اسپسارتین+آلمندین، بیشتر در گستره آندرادیت-گروسولار قرار گرفته‌اند، ب تصویر ریزپردازشی الکترونی (BSE) از گارنت‌های سازند هرمز در گندنمکی دواوب که نشان‌دهنده منطقه‌بندی در این کانی است.

گارنت

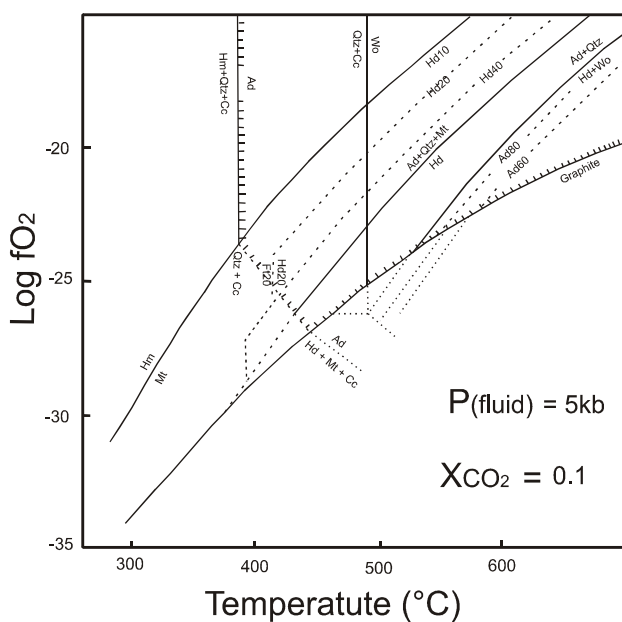
یکی دیگر از کانی‌های دگرنهاد در گنبدهای دواوب گارنت از نوع آندرادیت است (شکل‌های ۱۰ و ۱۱ و جدول ۶)، که دستاورد فرآیندهای مراحل پایانی تبلور است. در این مرحله fO_2 , FeO , CaO گرمابی‌ها به اندازه‌ای بالابود که نخست شاره Fe^{2+} به Fe^{3+} اکسیده شده و سپس وارد واکنش می‌شود. بر پایه برداشت‌های کانی‌ای می‌توان واکنش شکل‌گیری گارنت- SiO_2 های آندرادیتی را در اثر هجوم گرمابی‌های غنی از CaO , Fe_2O_3 به صورت زیر پیشنهاد کرد [۲۲]:



آندرادیت در گستره دمایی $520^\circ\text{C} - 300^\circ\text{C}$ (در فشار ۰,۵ کیلوبار) و $0,1$ تا $0,6$ XCO_2 پایدار است [۲۳] (شکل ۱۲). بیرون از این شرایط، آندرادیت به مگنتیت، کوارتز و کلسیت تجزیه می‌شود. تغییر ترکیب شیمیایی گارنت‌ها به طور ناگهانی در بلورهای دارای ساختار منطقه‌ای را می‌توان به کاهش ناگهانی فشار ارتباط داد. کاهش فشار سبب پدیده جوشش در

جدول ۶ نتایج آنالیز ریز پردازشی گارنت‌های گنبدهای نمکی دوآب و کاج.

Label	SiO ₂	TiO ₂	Al ₂ O ₃	FeO*	MnO	CaO	Total
۱	۳۷,۰۵	۰,۰۴۶	۱۰,۷۶	۱۶,۲۶	۰,۲۷۸	۳۴,۵۱	۹۹,۰۹
۲	۳۶,۹	۰,۰۰۳	۱۰,۹۷	۱۵,۸۳	۰,۲۴۸	۳۴,۷۶	۹۸,۸۹
۳	۳۶,۹۲	۰,۰۰۷	۱۰,۳۹	۱۶,۶۸	۰,۲۶۱	۳۴,۷۵	۹۹,۰۵
۴	۳۷,۲۴	۰,۰۱۵	۱۲,۲۰	۱۴,۳۳	۰,۲۹۵	۳۵,۰۶	۹۹,۳۳
۵	۳۵,۲۹	۰,۰۱۱	۰,۰۰۳	۳۲,۵۳	۰,۰۷۸	۳۲,۷۵	۱۰۰,۷۰
۶	۳۵,۲۳	۰	۰,۳۸۸	۳۱,۹۴	۰,۰۹۱	۳۳,۰۶	۱۰۰,۷۰
۷	۳۵,۱۶	۰	۰,۳۵۸	۳۲	۰,۱۲۴	۳۲,۹	۱۰۰,۶۰
۸	۳۵,۱۸	۰,۰۱۷	۰,۵۹۵	۱۳,۵۱	۰,۱۲۸	۳۳,۱۱	۱۰۰,۷۰
۹	۳۴,۹۷	۰	۰,۰۱	۳۲,۴۸	۰,۰۷۶	۳۲,۹۰	۱۰۰,۵۰
۱۰	۳۵,۲۸	۰,۰۰۱	۰,۰۱۱	۳۲,۶۴	۰,۰۹۵	۳۲,۹۶	۱۰۱,۱
۱۱	۳۵,۳۸	۰	۰,۰۱۵	۳۲,۳۶	۰,۲۳۸	۳۲,۶۹	۱۰۰,۷۰
۱۲	۳۵,۳۷	۰	۰,۰۲۳	۳۲,۴۴	۰,۲۹۵	۳۲,۵۷	۱۰۰,۸
۱۳	۳۵,۲۴	۰,۰۳۳	۰,۰۰۷	۳۲,۵۶	۰,۲۵۱	۳۲,۶۳	۱۰۰,۷
۱۴	۳۵,۱۴	۰	۰,۰۰۵	۳۲,۴۱	۰,۲۶۴	۳۲,۷۴	۱۰۰,۶
۱۵	۳۷,۱	۰,۰۱۹	۶,۹۳۹	۲۳,۲۹	۰,۶۲۱	۳۳,۶۰	۱۰۱,۷

شکل ۱۲ نمودار گستره پایداری گارنت و پیروکسن بر اساس $\text{T}-\text{fO}_2$.

بین حفره‌ها همراه با کلسیت، اکتینولیت و کلریت حضور دارد. رخداد بافت بلور دانی در برخی مقاطع شاهدی بر تاثیر دگرنهادی در آخرین مراحل تبلور است. تشکیل کوارتزهای رگچه‌ای حاکی از غنی بودن فاز پایانی از عنصر قلیایی است.

کوارتز
از پدیده‌های جالب کانی‌شناسی در گنبدهای دشتک، تشکیل کوارتزهای دودی درشت بلور با سوزنی‌های اکتینولیت (شکل ۱۳-الف) است. این کانی به صورت رگچه‌ای و در برخی موارد

رنگ آبی-خاکستری قابل مشاهده‌اند) که همزمان با رشد کوارتز تشکیل شده است (شکل ۱۳-الف و ب). میانبارهای شاره که مورد بررسی قرار گرفته‌اند دارای سه فاز آبگون، جامد (هالیت)، با توجه به ریخت‌شناختی و ویژگی‌های نوری) و بخاره‌ستند (روی ۱۵ شاره میانبار) (شکل ۱۳-ب)، محاسبه میزان CIPW [۲۷] نیز وجود هالیت در این سنگ‌ها را تایید کرده است.

به نحوی که با تشکیل آلبیت‌های نوظهور CaO اضافی تشکیل کلسیت را می‌دهد و SiO₂ آزاد می‌شود. پیدایش کلسیت، کوارتز، ترمولیت، اکتینولیت در حفره‌ها نشان دهنده دگرنهادی است. Na₂O, SiO₂, CaO بررسی‌های انجام شده روی بلورهای کوارتز رگچه‌ای گنبدهایی دشتک نشان می‌دهد که بلورهای یادشده حاوی نفوذی-هایی از کانی سوزنی اکتینولیت است (در نمونه دستی نیز به

Oxide	TiO ₂	SiO ₂	Al ₂ O ₃	Fe ₂ O ₃	FeO	MnO	MgO	CaO	Na ₂ O	K ₂ O	P2O5
Wt%	2.29	52.6	15.6	2.89	8.31	0.28	4.91	4.98	5.51	1.61	0.38
Mineral	Qtz.	Cor.	Zir.	Orth.	An.	Ab.	Ne.	Ha(Halite)			
Wt%	24.3		5.42	0.02	9.6	22.76	1.17	0.25		2.55	

به دست آمد. با توجه به معادله زیر و با احتساب دمای ذوب پایانی، شوری فاز شاره ۴۲/۹۳٪ تعیین شد [۲۸].

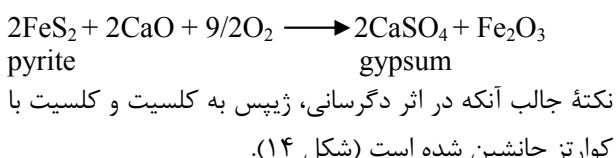
بر پایه بررسی‌های سرمایشی و گرمایشی بر روی این کانی، فاز گاز و آبگون در گستره دمایی (۲۶/۸-۲۷/۱) درجه سانتی‌گراد بخ زدن. دمای همگن شدن فاز گاز، آبگون ۳۲۰ °C

$$\text{Salinity} (\% \text{Wt NaCl}) = 26.242 + 0.9428X + 1.42X^2 - 0.223X^3 + 0.04129X^4 + 6.295 * 10^{-3}X^5$$

X=۱۰۰/دمای انحلال هالیت [۲۶]

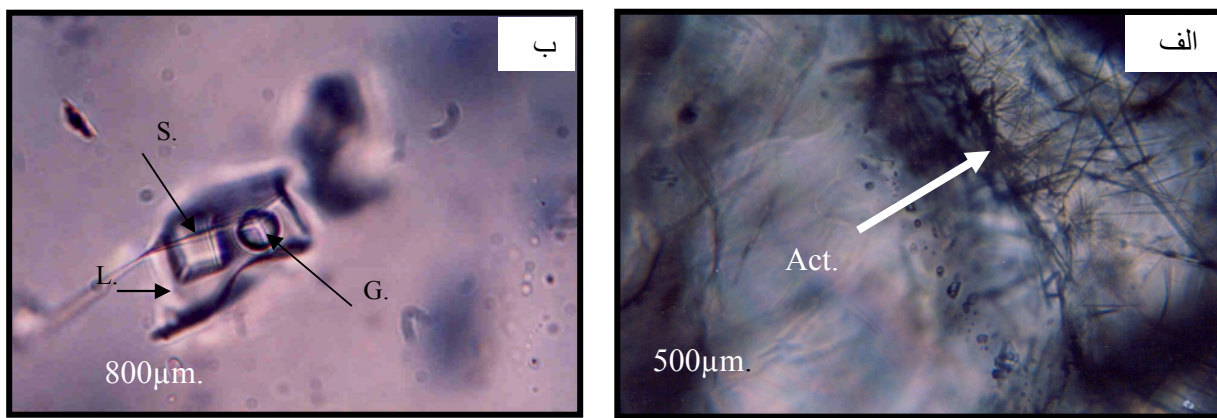
$$\text{دمای انحلال هالیت} = 320^{\circ}\text{C}$$

$$X = 3.20 \quad \rightarrow \quad \text{Salinity} = 42.932\%$$

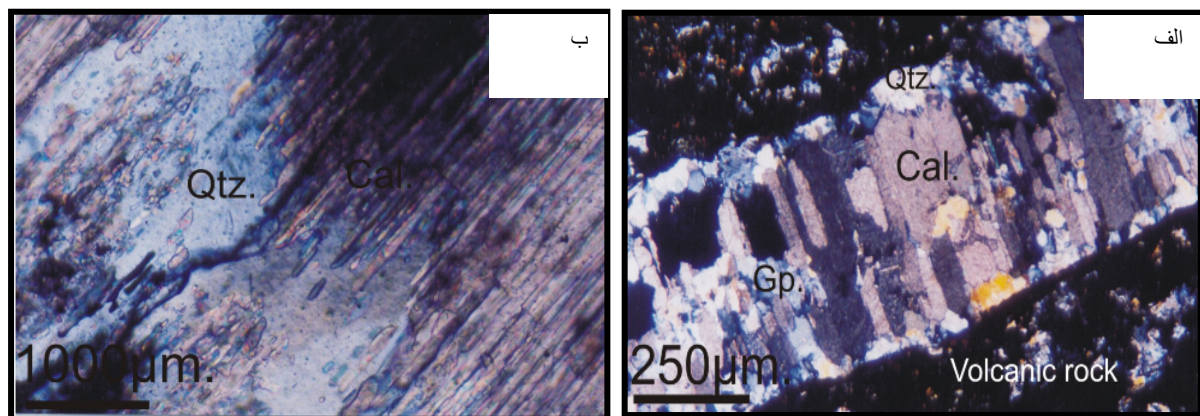


سنگ‌های منطقه مورد از نظر سنگ‌شناسی دارای ترکیب پیوسته‌ای از بازالت تا تراکیت هستند. به طور کلی از یک طرف دارای سرشت قلیایی (با توجه به شواهد سنگ‌شناختی و غنی شدگی نمونه‌ها از تیتان (برای مثال وجود کرسوتیت و تیتان اوزیت) و از طرف دیگر سرشت تولئیتی (با توجه به غنی شدگی از آهن) دارند. در مجموع برپایه نمودارهای تعیین کننده سری ماگمایی، آتشفه‌شانی‌های منطقه ویژگی سری تحولی از خود نشان می‌دهند [۲۷].

از شواهد دیگر دگرنهادی در این سنگ‌ها، تشکیل پاراژنز ژیپس، کلسیت و کوارتز است. در نمونه دستی ژیپس‌های نواری به ضخامت ۱-۴ سانتی متر در شکستگی‌های سنگ‌های آتشفه‌شانی به وجود آمده است. رنگ رگچه‌های ژیپس سفید تا سفید شیری است، همچنین سوزن‌های ژیپس عمود بر دیواره رگه رشد کرده است، که موید وجود تنش (از نوع کششی) در محیط تشکیل این مجموعه است. از دیدگاه میکروسکوپیکی ژیپس در میانه رگه و کوارتز در حاشیه رگچه‌ها قرار گرفته است (شکل ۱۴-الف). به احتمال قوی ژیپس‌های مورد بحث در اثر دگرسانی پیریت و طی واکنش زیر حاصل شده‌اند:



شکل ۱۳ الف. سوزنی‌های اکتینولیت به صورت نفوذی در کوارتزهای گرمابی گنبدهای دشتک تشکیل شده است، ب. شاره‌های درگیر دارای سه فاز جامد (S)، آبگون (L) و گاز (G) هستند (نور قطبینده).



شکل ۱۴ الف. تشکیل ژیپس و کلسیت در میانه و کوارتز در حاشیه رگچه، ب. تشکیل کوارتزهای ثانویه بین کلسیت با بافت مرجانی (atoll texture) (نور قطبینده).

صورت گرفته روی کانی کلریت. گستره دمایی 350°C - 310°C برای تشکیل این کانی پیشنهاد می‌شود. همچنین آمفیبولهای آزبستی در گستره دمایی 320°C - 520°C ، فشار ۲ کیلوبار و آندرادیت‌ها در گستره دمایی 300°C - 320°C و فشار ۰/۵ کیلوبار و بر پایه بررسی‌های نفوذی‌های شاره کوارتزهای رگچه‌ای در گستره دمایی 330°C - 310°C پایدارند.

در آخرین مرحله تشکیل کانی‌ها سیستم گرمابی از خاستگاه سنگ‌های تبخیری میزان تشکیل می‌شود و با تاثیر بر درون سنگ‌های آذرین رگچه‌های کوارتز، کلریت، اکتینولیت و بلورهای گارنت، آلبیت و اپیدوت به وجود آمده است.

برداشت
سنگ‌های آذرین گنبدهای نمکی مورد بررسی دارای مجموعه کانی‌های کلینوپیروکسن، اکتینولیت، پلازیوکلاز، بیوتیت، پیکنوکلریت، کلسیت، کوارتز، پیستازیت، گروسولار-آندرادیت و کوارتنزد. این سنگ‌ها دارای طیف پیوسته‌ای از بازالت تا تراکیت هستند. بر پایه بررسی‌های صحرایی، سنگ‌شناختی و آنالیزهای ریز پردازشی تشکیل کانی‌های اپیدوت، آلبیت، کلریت، گارنت اکتینولیت و کوارتز در بین سنگ‌های آتشفسنایی گنبدهای نمکی زاگرس بلند نشان دهنده تاثیر فاز تاخیری غنی از Na_2O , K_2O , Fe_2O_3 , CaO , H_2O , CO_2 , O_2 است. بر پایه داده‌های ژئوشیمیایی و محاسبات زمین- دماستنجی

مراجع

- Report of the subcommittee on amphiboles of the international mineralogical association", commission on new minerals and mineral names, Can. Mineral., 35 (1997) 219-237.*
- [13] Shoji T., "The stability of clinopyroxene of the diopside-hedenbergite series in H_2O-CO_2 mixtures" Jour. Of the Japanese Association of mineralogists, Petrology and Economic Geologists, 75 (1980) 221-229.
- [14] Schmacher J., "The estimation of proportion of ferric iron in the electronmicroprobe analysis of amphiboles", Can. Mineral., 35 (1997) 237-246.
- [15] Rock N. M. S., "lamprophyres, Blackie and son", Glasgow, London, New York (1991) 285.
- [16] Jowett E. C., "Fitting iron and magnesium in the hydrothermal chlorite geothermometr", Geol. Assoc. Cana. Mineral. Assoc. Canada/Soc. Eco. Geol. Joint. Annual Meeting, Toronto, Program with Abstracts (1991) 16, A 62.
- [17] Cathelineu M., "Cation site occupancy in chlorites and illites as a function of temperature" Clay Miner. (1988) 23, 471-485.
- [18] Cathelineu M., Nieva D., "A chlorite solution geothermometr, The los Azufers (Mexico) geothermal system" Contrib. Mineral. Petrol. (1985) 91, 235-244.
- [19] Zhang Y., Muchez Ph., Hein U. F., "Chlorite geothermometry and temperature condition at the Variscan thrust front in eastern Belgium" Geolo. Mijnbouw (1997) 76, 267-270.
- [20] Shimazaki K., Gotow K., Kondo N., "Photosynthetic properties of guard cell protoplasts from *Vicia Fabal. L*", plat Physiol. Plant. Mol. Biol. (1982) 52, 627-658.
- [21] Liou J., "Synthesis and stability relations of epidote, $Ca_2Al_2FeSi_3O_{12}(OH)$ " Jour. Petrol. (1973) 14, 381-413.
- [۲۲] مکی زاده م.ع., "کانی‌شناسی و ژئوشیمی اسکارن‌های استان یزد"، دانشگاه شهیدبهشتی، پایان‌نامه دکتری، (۱۳۸۷) ۱۹۸ ص.
- [23] Harriss N. B., Einaudi M. I., "Skarn deposits in the Yerington district, Nevada, metasomatic skarn evolution near Ludwing", Econ. Geol. (1982) 77, 877-898.
- [۱] درویش زاده ع., "ویژگی‌های زمین‌شناسی نمک‌های اینفراتاکامبرین خلیج فارس", مجموعه مقالات سمپوزیوم دیاپیریسم، استانداری هرمزگان، جلد ۱ (۱۳۶۹) ص ۸۱-۹۰.
- [۲] هروی م., "مفاهیم جدیدی از چینه‌شناسی سازند هرمز و مسئله دیاپیریسم در گنبد‌های نمکی جنوب ایران"، مجموعه مقالات سمپوزیوم دیاپیریسم، استانداری هرمزگان، جلد ۱ (۱۳۶۹) ص ۱-۲۲.
- [۳] سبزه ئی م., "گزارش بررسی‌های زمین‌شناختی و سنگ-شناختی گنبد‌های نمکی کاکان، کمهر، کوه گون در منطقه یاسوج، اداره کل معدن و فلزات استان کهگیلویه و بویراحمد، گزارش داخلی، (۱۳۶۸) ۷۰ ص.
- [۴] دلال اصفهانی ف., "پترولولوژی سنگ‌های آذرین و دگرگونی گنبد‌های نمکی جنوب استان چهارمحال و بختیاری", پایان‌نامه کارشناسی ارشد، دانشگاه اصفهان (۱۳۷۲) ۱۲۰ ص.
- [۵] حجتی ح., "بررسی پترولولوژی و ژئوشیمی گنبد‌های نمکی استان چهارمحال و بختیاری (کاج، گنجان، دشتک و نازی)", پایان‌نامه کارشناسی ارشد، دانشگاه اصفهان (۱۳۷۷) ۲۰۷ ص.
- [6] Zarkov M.A., "Paleozoic salt bearing formation of the world", Spring Verlag Berlin Heidelberg Germany (1984) 427.
- [7] Husseini M.I., "The Arabian infracambrian extensional system", Tectonophysics, 148 (1988) 93-103.
- [8] Stocklin J., "Iran Central, septentrional et Oriental. Lexique stratigraphique International", III, Fasicule, Centre National de rechercher Scientifique, Paris 9b, Iran (1972) 1-283.
- [9] Harrison J. V., "The geology of some salt plugs in Laritsan, South Persia", Geol. Soc. London, Quart, Jour., 86 (1930) 465-522.
- [10] Oberin C.A., "Salt diapirism in South Persia", Geologie eu mijnbouw, 1 (1957) 212-238.
- [11] Deer W., A., et all, "An introduction to the rock forming minerals", Longman Group, seventeen impression (1991) 528.
- [12] Leake B. E., Wolley A. R., Arps C. E. S., Birch W. D., et all., "Nomenclature of amphiboles:

"Rodingites in serpentinized ultramafic rocks of the Abitibi green stone belt" Ontario, Canadian Mineral. (1989) 27, 579-591.

[۲۷] تقی پور ص، خلیلی م، نقره‌ثیان م، ترابی ق، مکی زاده م. ا، تقی پور ب، "کانی‌شناسی و پترولوژی سنگ‌های مگماهی سازند هرمز (گنبد‌های نمکی کاج و دوا آب)"، مجله بلورشناسی و کانی‌شناسی ایران، (۱۳۸۷) ۱۶، ۳، ۳۷۷-۳۸۸.

[28] Shephaer T. J., "A practical guide to fluid inclusion studies" Blackie, London (1985) 235.

[24] Yardly B. W., Rochelle C. A., Barnicoat A. C., "Oscillatory zoning in metamorphic minerals, An indicator of infiltration metasomatism" Miner. Mag. (1991) 55, 357-365.

[25] Taghipour S., Khalili M., Noghreyan M.,

Torabi Gh., Mackizadeh M. A., "Genesis of andradite garnets in altered igneous rocks" Jour. Ultra Chemistry (2007) 3, 2, 127-138 .

[26] Shandl E. S., Ohanley D. S., Wicks F. J.,